Submillimeter galaxies ehind the Bullet Cluster (1E 0657-56)

Daniel Johansson et al. arXiv:1003.0827v1

発表者:田村

Journal club - 28-May-2010

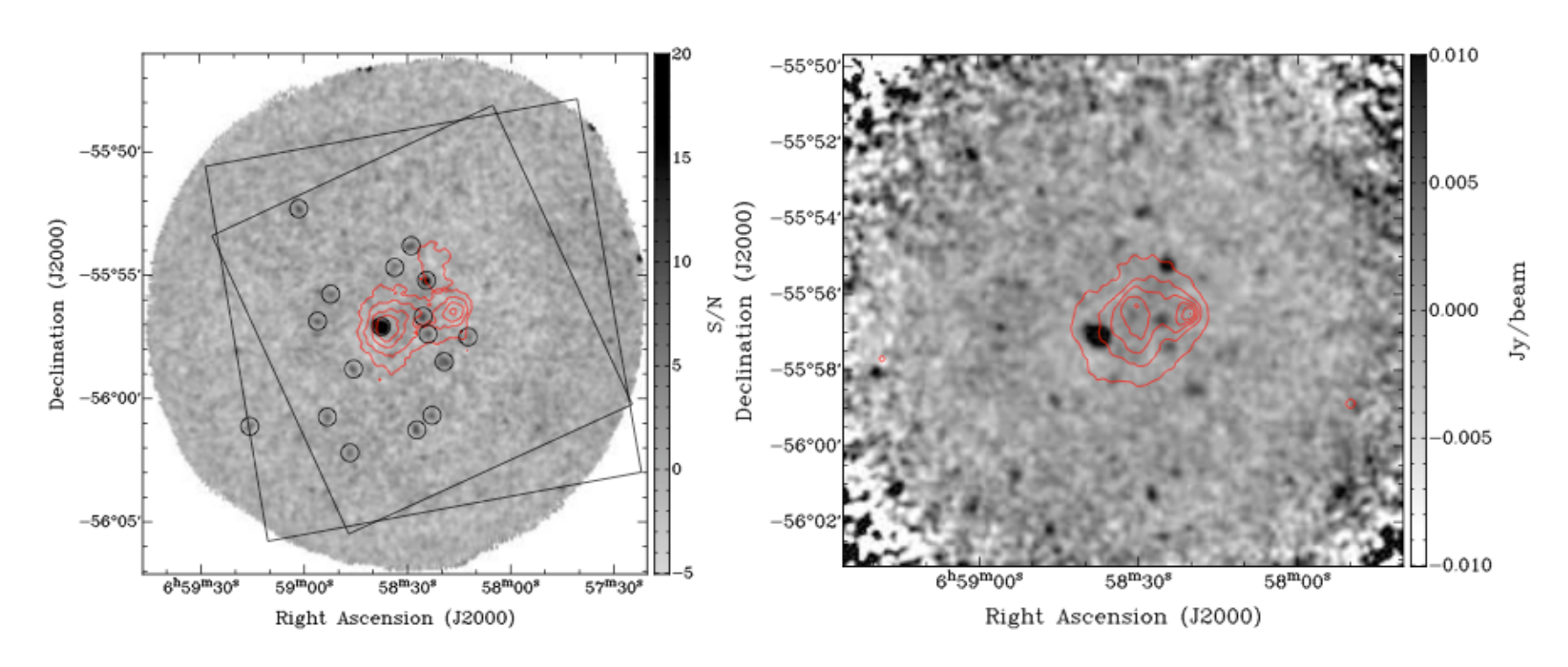
Abstract

- Context
 - 重力レンズのために、銀河種族のうち暗いものが見える
 - SMG は Sunyaev-Zeldvich (SZ)効果のcontaminantだから、よく理解する必要がある
- Aims
 - Bullet cluster (IE 0657-56, z = 0.3) で SMGを870um でID
 - 多波長対応天体を探す
- Methods.
 - LABOCA/APEX による Bullet cluster の 870 um サブミリ波連続波観測
- Results
 - I7個のSMGを発見、うちI3個が中心I0'Φに集中 (Iσ = I.2 mJy/22''beam)
 - number countは既知のものと矛盾しない
 - 9個はSpitzer対応天体あり
 - 最も明るいSMGは、z \simeq 2.7
 - 75倍に増光されているとして、intrinsic flux = 0.6 mJy, luminosity < 10^12 Lo

Bullet cluster IE 0657-56

● z = 0.3, 最も大質量の銀河団のひとつ.

- **=**
- weak lensing法による質量分布が調べられている (Bradac et al. 2006)
- AzTEC/ASTEにより、z ~ 2.7 と推定される明るいSMGが見つかった.
 (Wilson et al. 2008)
- Gonzalez et al.は、opt/NIR等のイメージを用いて重力レンズをモデル、μ = 10-50 と推定。



● Fig. 7. (左) Bullet clusterのLaboca S/Nマップ. ○はSMG. 赤コントアがweak-lens法による質量分布. (左) Laboca signal map. 赤コントアが, X線(XMM-Newton)輝度分布

Observations

- Scanning patterns
 - (I) ボロメータピクセル間のギャップを埋める (2) 天体からの信号 をある特定の空間周波数領域に閉じ込め, ノイズと区別させる.
 - Archimedean spiral + 4点ラスター



- ラスター点を2通り変えて観測: spiral 中心の離角 27" および 100"
 - scan speed = 0.5-2.5'/s および 3-4'/s

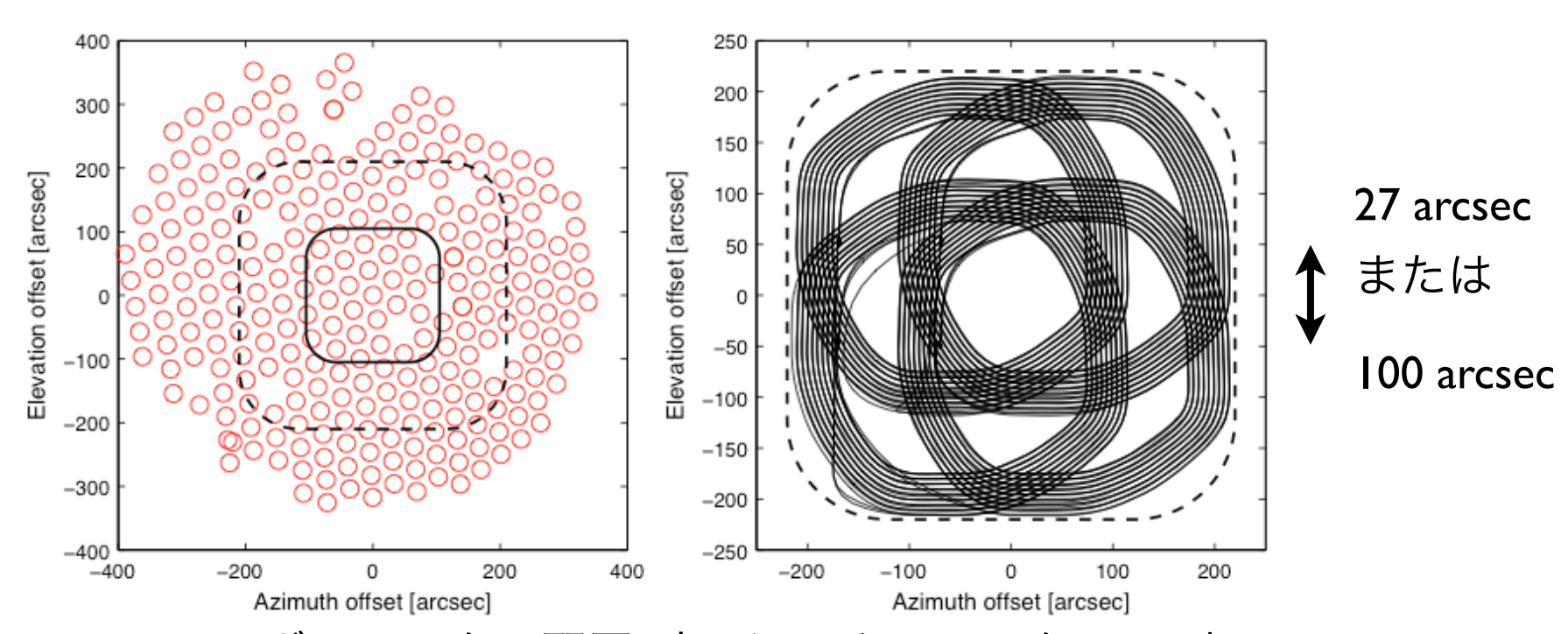


Fig. I. Labocaボロメータの配置 (左) と スキャンパターン (右)

Data Reduction

- Minicrush vs. BoA
 - ソース検出数やcharacteristics (?) については、両者一致
 - 'large-scale noise' 除去は、crushのほうが優秀→ Minicrushを採用
- Removal of correlated noise in the time-streams
 - サブミリ波連続波観測の肝.
 - 複数の相関ノイズ成分(大気,エレキ)をモデル.
- Iterative mapping
 - 1回目:"standard" な Minicrush パイプラインを使用 (-deepオプ ション=広がった放射をfilterし, 点源を選択的に抽出).
 - 2回目: I回目で>4.5σで検出されたソースを "model"として、再度 Minicrush を実行.

Results

● S/Nマップ (Fig.2).

- ノイズマップは, jackknife法で作成. 中心 10'Φ のノイズレベルは1.2 mJy/b.
- Source extraction は、Gaussian matched filter (GMF) 法 (Serjeant+03) を採用
 - $\P_{\Delta F} = \frac{(S \cdot W) \otimes P}{\sqrt{W \otimes P^2}}$ にしたがって GMF significance map を作成し、F/ Δ F ≥ 9 のソースを抽出
- Ist iter.: I9ソース検出. 2nd iter.: 22ソース検出. --> ANDをとって I7ソースをカタログ
- Compl. = 50%@3.5mJy, 90%@5mJy, Boost. = x2@2mJy, x1.2@3.5mJy
- DM分布を用いて銀河団によるlensingをモデル. src #1は75倍 (see Table 2)

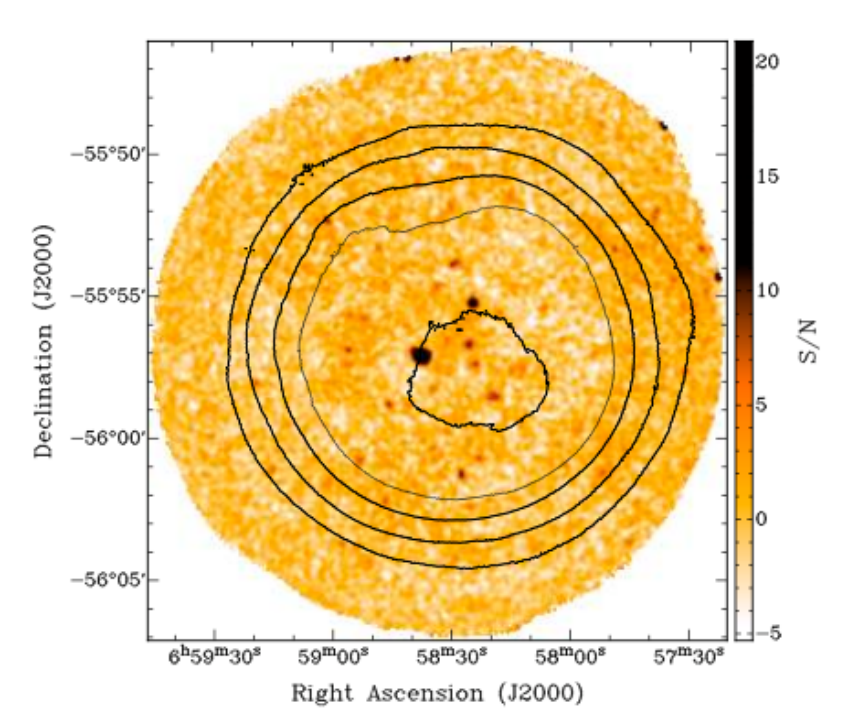
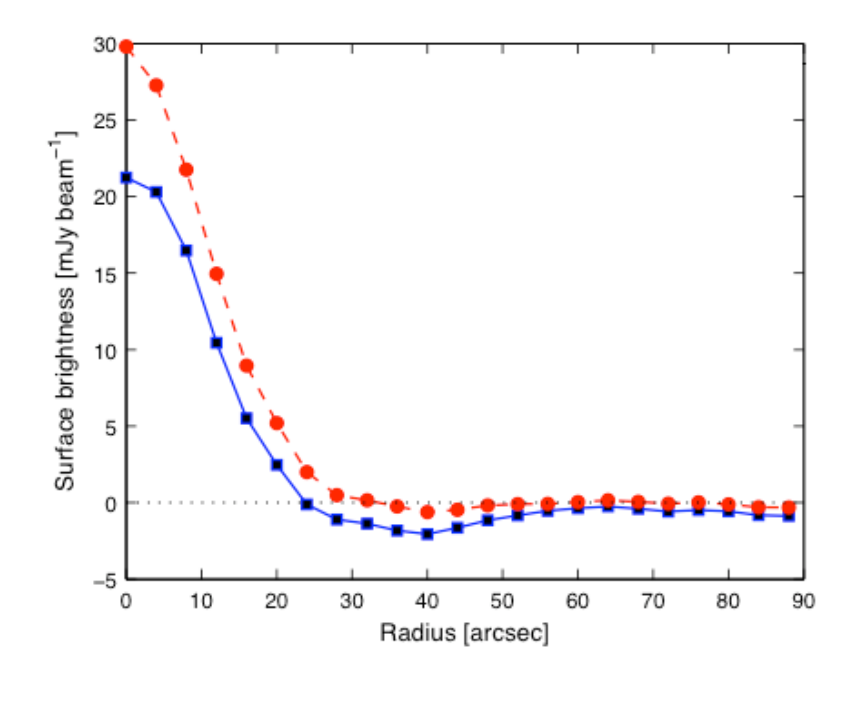


Fig 2. S/Nマップ. コントアはノイズマップ (1.3, 2.1, 2.7, 4.1, 6.8 mJy/b).



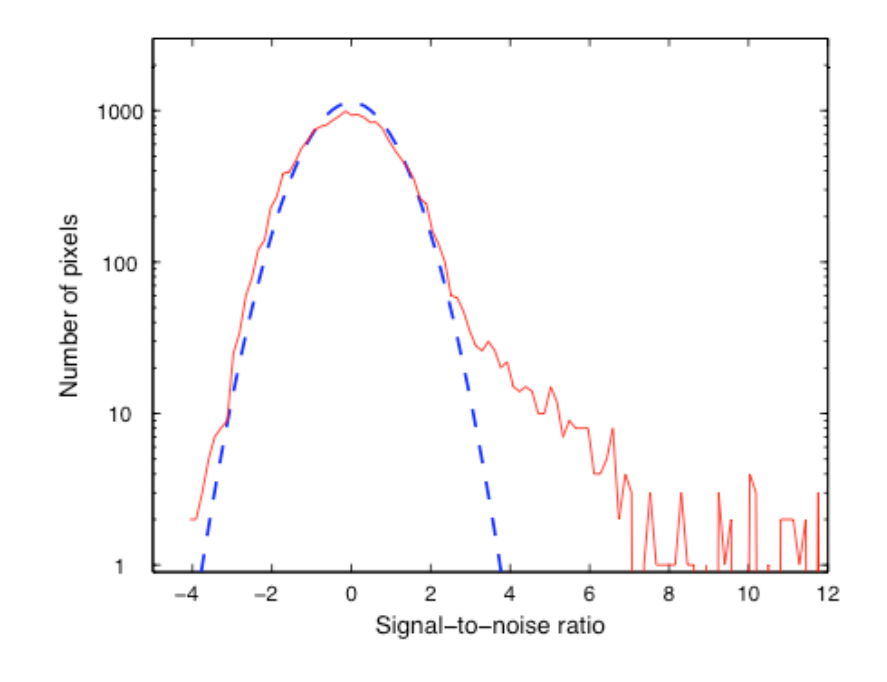


Fig 4. S/Nマップ(10'Φ) pix. histogram. 青: noise, 赤: signal.

Discussion

- Spitzer (IRAC, MIPS対応天体) → Fig.8. にpostage stamp
 - 9天体(src #2,5,6,7,8,10,11,15)に対応天体.#6,7はMIPSなし.
 - うち5天体はMIR SEDを描ける. S(8.0/4.5)-S(24/8.0)ダイアグラム(Ivison+04) 上で, starburstに分類される
- 個々の天体について(source #I に特化)
 - S(870um,deboosted) = 48.0 +/- 1.3 mJy. S(intrinsic) = 0.6 mJy
 - z = 2.9 Ostarburst SEDでよくfitできそう.
- Number counts: Baysian法で作成. 中心10'中のSMGのみに適用.
 - 過去のカウントとconsistent.

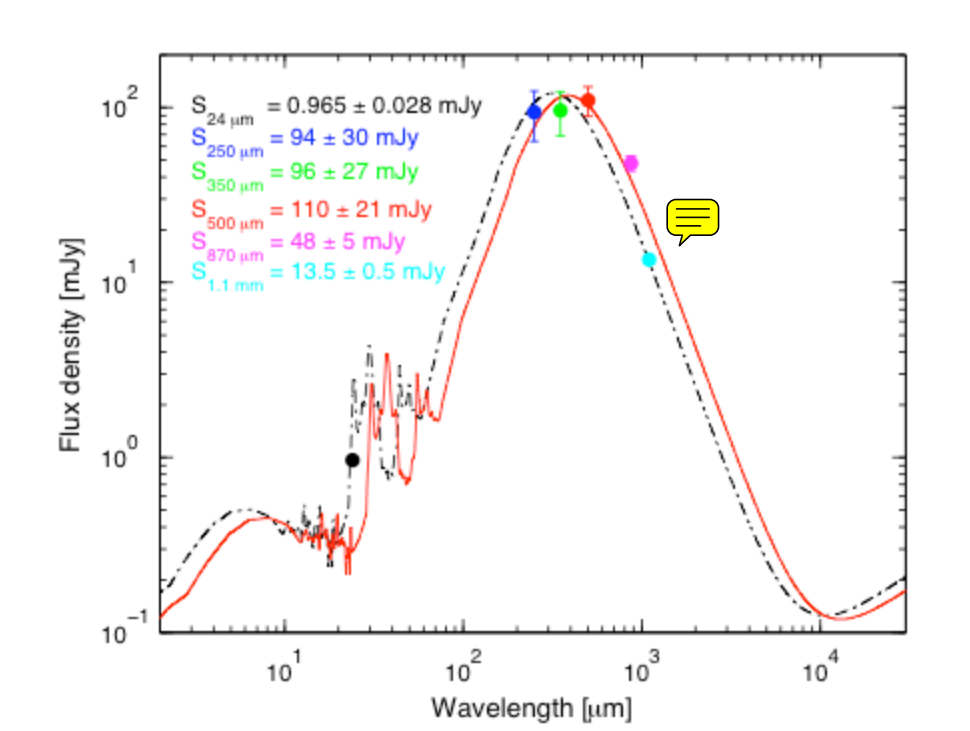


Fig. 9. SED. (黒破線) z = 2.9, Ltot = 10^11.8 Lo, (赤実線) z = 3.9, Ltot = 10^11.9Lo

Fig. 10. 累積ナンバーカウント. 赤四角がthis work.

